

# Применение голографического уравнения состояния для численного моделирования эволюции кварк-глюонной плазмы

А. В. Ануфриев<sup>1</sup>, В. Н. Коваленко<sup>1</sup>

<sup>1</sup> Санкт-Петербургский Государственный Университет

20 февраля 2025,  
г. Москва

Сессия-конференция секции ядерной физики ОФН РАН,  
посвященная 70-летию В. А. Рубакова



Работа выполнена при поддержке СПбГУ, шифр проекта 103821868

## Содержание

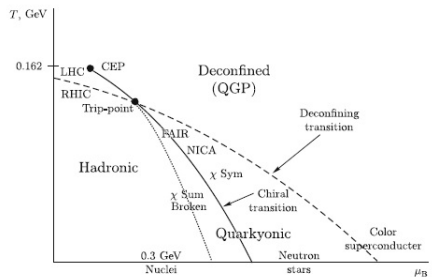
- 1 Открытые проблемы исследования фазовой диаграммы КХД
- 2 AdS/CFT-соответствие и голографическое уравнение состояния (И. Я. Арефьева)
- 3 Настройка голографических моделей для работы с физическими массами кварков
- 4 Практическое применение голографической термодинамики КГП для численного моделирования
- 5 Первые результаты
- 6 Заключение и перспективы дальнейшего развития

## Открытые проблемы исследования фазовой диаграммы КХД

Критическая точка фазовой диаграммы - тройная точка?

Индикатор фазового перехода - критические флуктуации, исследуемые с помощью **сильно-интенсивных переменных** [M. Gazdzicki and S. Mrowczynski, Z. Phys. C 54, 127 (1992)]

Рис.: I. Ya. Aref'eva, "On the quarkyonic phase in the holographic approach", Theoret. and Math. Phys., 217, 3 (2023)



Важная проблема: детальное изучение фазовой диаграммы при  $\mu_B > 0$ .

## AdS/CFT-соответствие

## Gerard 't Hooft - голографический принцип (1993)

Информация о материи в некотором пространстве  $\rightarrow$  "плоская голограмма" (не более одной степени свободы на планковскую площадь) на границе этого пространства.

## Maldacena - AdS/CFT - соответствие (1998) [J. Maldacena //

Adv.Theor.Math.Phys.2:231-252,1998]:

При некоторых граничных условиях имеет место дуальность суперсимметричной теории Янга-Миллса и ПВ суперструнной теории в низкоэнергетическом пределе.

Термодинамические характеристики  
кварк-глюонной плазмы:

$T, E, P, \mu$  Уравнение состояния  
 $P = P(\varepsilon)$

Параметры деформации пространства  $AdS_5$ :

$T(z_h), S(z_h), z_h$  - характерный  
гравитационный горизонт,  $T, S$  - температура  
и энтропия соответствующей **черной браны**

При некоторых условиях голографический принцип  
Мальдасены применим к КХД.

## Голографическое уравнение состояния КГП в рамках модели с двойным дилатонным полем (И.Я. Арефьева)

Предлагаемый анзац [I. Aref'eva et al. // JHEP 06, 090 (2021)] :

$$ds^2 = \frac{L^2}{z^2} b(z) \left[ -g(z) dt^2 + dx^2 + \left(\frac{z}{L}\right)^{2-\frac{2}{\nu}} dy_1^2 + \left(\frac{z}{L}\right)^{2-\frac{2}{\nu}} dy_2^2 + \frac{dz^2}{g(z)} \right],$$

Деформирующий фактор  $b(z) = e^{2A(z)}$ ,  $L$  - радиус AdS,  $g(z)$  - термодинамическая функция "почернения"

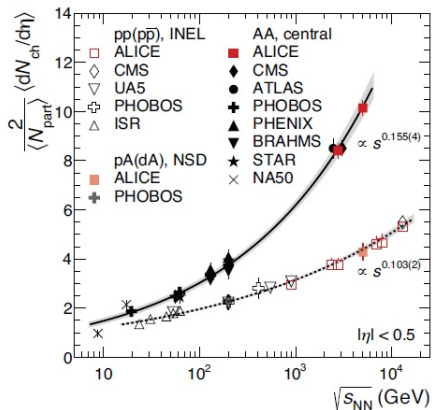
$A(z) = -a \ln(bz^2 + 1)$  - модель "легких кварков" [O. Andreev, V. Zakharov // Phys.Rev.D74, 025023 (2006)]

$A(z) = -\frac{cz^2}{4}$  - модель "тяжелых кварков" [Meng-Wei Li et al., Phys. Rev. D 96, 066013 (2017)]

### Преимущества подхода:

- Параметр анизотропии, введенный в рамках данной модели, позволяет голографически восстановить экспериментально подтвержденную на RHIC и LHC зависимость множественности от энергии с большой точностью
- Один из параметров модели подобран в соответствии с реджевскими спектрами кваркониев (случай тяжелых кварков) и  $\rho$ -мезонов (случай легких кварков)
- Остальные параметры модели фитируются с помощью результатов вычислений в рамках решеточной КХД
- Возможность изучения свойств ядерной материи при достаточно больших  $\mu_b$

## Анизотропная модель



Экспериментальная зависимость  
плотности множественности от энергии

$$M \propto s_{NN}^{0.15}$$

[K. Aamodt, et al. // Phys. Rev. Lett. 105 252301 (2010)]

Результат в изотропных  
голографических теориях

$$M \propto s_{NN}^{\frac{1}{3}}, \nu = 1$$

[S. Gubser et al. // Phys. Rev. D 78 066014 (2008)]

Результат оценки методами  
голографии в рамках работ И.Я.  
Арефьевой (анизотропный случай)

$$M \propto s^{\frac{1}{6}} \approx s_{NN}^{0.16}, \nu = 4.45$$

[I. Aref'eva, A. Golubtsova // JHEP 04 011 (2015)]

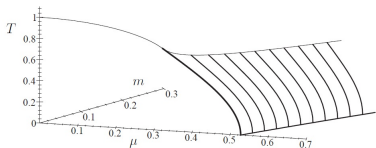
# Голографическое уравнение для физических масс кварков

По результатам исследования [M. Halasz et al. // Phys. Rev. D 58, 096007 (1998)] можно сделать вывод о том, что **нет существенно качественного отличия фазовой структуры КХД в хиральном пределе и в случае физических масс кварков** (которые достаточно малы по сравнению с "тяжелым" случаем)

## Идея

Параметры модели легких кварков фитируются в соответствии с вычислениями решеточной КХД **для масс кварков, наиболее близких к физическим.**

Зависимость фазового поведения КГП от масс кварков - **мало структурных отличий при  $m \rightarrow 0$**



## Свободные параметры модели легких кварков:

Применяется метод из [J. Grefa et al. // Phys. Rev. D 104, 034002 (2021)]. Безразмерные термодинамические величины умножаются на масштабный коэффициент  $L$  (степень  $L$ =степень ГэВ величины). Остальные параметры:

- $\nu$  - параметр **анизотропии**.  $\nu = 1$  - изотропный случай,  $\nu = 4, 5$  - анизотропный
- $c$  - параметр, отфитированный в Meng-Wei Li et al. // Phys. Rev. D 96, 066013 (2017)] со значением  $c = 0.227$  ГэВ<sup>2</sup> на **реджевские спектры  $\rho$ -мезонов**
- Параметр  $L$  - характерный энергетический масштаб.
- Параметр  $G$  - безразмерная гравитационная константа
- Безразмерный параметр  $a$  и параметр  $b$ , фитируемый в единицах ГэВ<sup>2</sup>, появляются в функции взаимодействия дилатонного поля, выбранной в виде  $A(z) = -a \ln(1 + bz^2)$

## Голографическое изотропное уравнение состояния для физических масс кварков

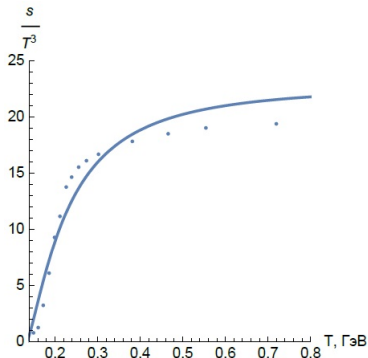
Фит совершался на основе результатов для величины  $\frac{s}{T^3}$  в работе [M. Cheng et al. // Phys. Rev. D 77, 014511 (2008)]. В данной статье, [физическая масса кварков достигается путем настройки массы  \$\rho\$ -мезонов](#). Эта работа - очень популярный источник для фитирования параметров в рамках других голографических термодинамических моделей.

Результаты фита  
методом наименьших  
квадратов:

$$L = 1.08 \text{ ГэВ},$$

$$G = 0.34 \quad a = 3.71,$$

$$b = 0.0129 \text{ ГэВ}^2.$$





## Голографическое анизотропное уравнение состояния для физических масс кварков

В связи с **общностью зависимости  $\rho(\mu_b)$  для обеих моделей**, фит для анизотропного случая совершался на основе результатов для величины

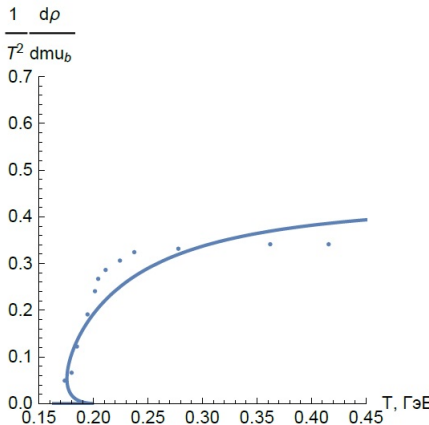
$\hat{\chi} = \frac{1}{T^2} \frac{\partial \rho}{\partial \mu_b}$  в той же работе [M. Cheng et al.// Phys. Rev. D 77, 014511 (2008)].

Результаты фита  
методом наименьших  
квадратов:

$$L = 1.01 \text{ ГэВ},$$

$$G = 0.81 \text{ } a = 3.949,$$

$$b = 0.03506 \text{ ГэВ}^2.$$



## Включение голографического уравнения состояния в пакет релятивистской гидродинамики MUSIC

Был написан программный код на основе встроенных в MUSIC

(<https://github.com/MUSIC-fluid/MUSIC.git>) методов считывания таблиц по результатам решеточной КХД:

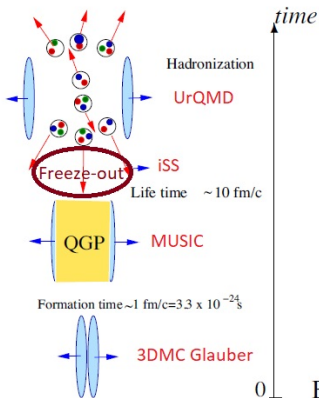
- 1 Строится **двумерная таблица термодинамических величин**  $(T, p, \mu_b)$  по заданным  $s$  и  $\rho_b$  на основании формул голографических моделей `blu`
- 2 По начальному профайлу энергетических и барионных плотностей MUSIC интерполирует значения термодинамических величин в каждой точке введенной сетки при заданном шаге по времени.
- 3 Эволюция заканчивается по достижении плотности энергии некоторого критического значения - энергии фризаута (задается предварительно)
- 4 Весь этот функционал вшит в **специально созданный класс** "EoSholo.h" (cpp).
- 5 Предусмотрен особый параметр `input`-файла MUSIC для быстрого переключения таблиц изотропной модели на анизотропную

## Эволюция КГП в рамках пакета iEBE-MUSIC

Пакет **iEBE** включает в себя набор моделей, предназначенных для исследований отдельных промежуточных эволюции КГП и предоставляет широкий функционал для всестороннего изучения данного процесса на всех его этапах (<https://github.com/chunshen1987/iEBE-MUSIC.git>).

Структура эволюции КГП в рамках данного исследования:

- 1 Начальный профиль энергии и барионной плотности рассчитывается в рамках модели **3D Monte-Carlo Glauber** для заданной кинематической области
- 2 Пакет **MUSIC** (модифицированный, включающий голографическое уравнение состояния) принимает на вход данный профиль и производит эволюцию КГП до наступления заданного фризаута
- 3 Пакет **iSS** производит Монте-Карло сэмплирование для получения конечного набора частиц на основании гиперповерхности на выходе MUSIC
- 4 Транспортная модель **UrQMD** позволяет получить финальный спектр адронов



0 | B

# Быстротные спектры $K^+$ -мезонов для голографических уравнений при энергиях NA49 [NA49 collab. // Phys.Rev.C66:054902,2002]

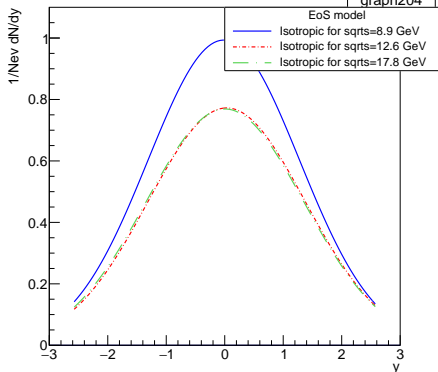
Pb-Pb столкновения,  $|y| < 2.6$   
 $\sqrt{s} = [8.9 \text{ ГэВ}, 12.6 \text{ ГэВ}, 17.8 \text{ ГэВ}]$ ,  
 $b < 20 \text{ фм}$

Изотропный случай

Анизотропный случай

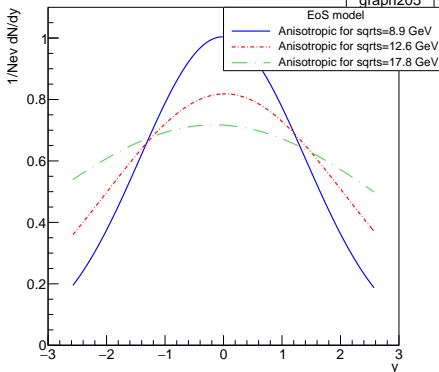
Kaons+ y-distributions

graph204



Kaons+ y-distributions

graph205



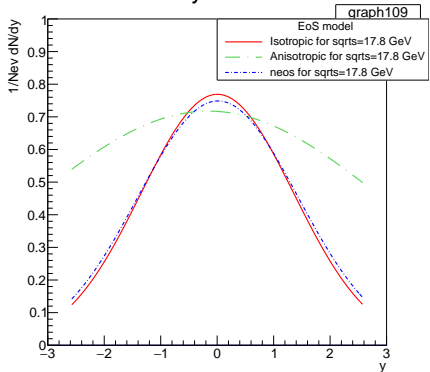
# Сравнение быструх спектров $K^+$ , $K^-$ -мезонов для модельных уравнений состояния

Pb-Pb столкновения,  $|y| < 2.6$   
 $\sqrt{s}=17.8$  ГэВ,  
 $b < 20$  фм

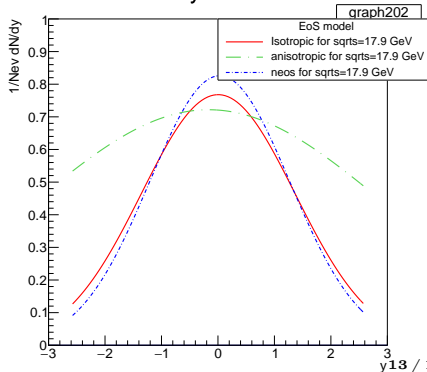
$K^+$

$K^-$

Kaons+ y-distributions



Kaons- y-distributions



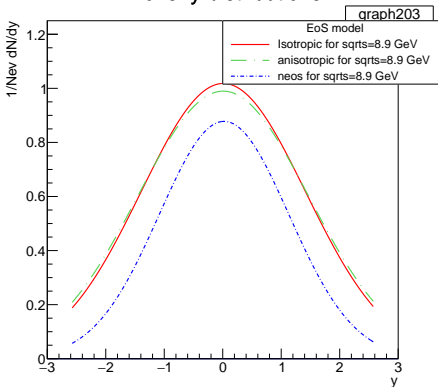
# Сравнение быструх спектров $\pi^-$ -мезонов для центральных и периферических столкновений

Pb-Pb столкновения,  $|y| < 2.6$   
 $\sqrt{s}=8.9$  ГэВ

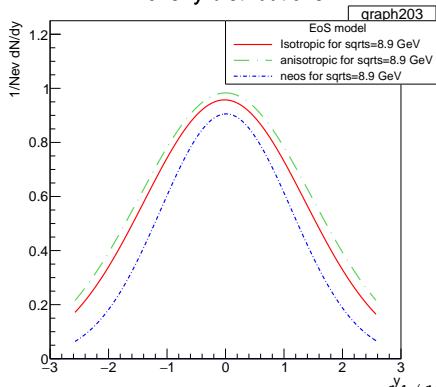
$b < 2.5$  фм

$b < 20$  фм

Pions- y-distributions



Pions- y-distributions



## Заключение и потенциал дальнейшего развития

### Результаты

1. Предложен способ настройки изотропной и анизотропной голографической модели "легких" кварков с помощью результатов решеточной КХД для **физических масс кварков** для применения в численном моделировании реальных экспериментов.
2. **Голографические уравнения состояния внедрены в программный пакет релятивистской гидродинамики MUSIC**. Время на расчет сравнимо с тем, которое затрачивается при работе с встроенными уравнениями.
3. Рассмотрены результаты вычислений в пакете iEBE-MUSIC для многостадийного моделирования динамики КГП. Показано наличие **модельной зависимости результатов от применяемых уравнений состояния**.

### Дальнейшие планы и перспективы

1. Кроме комбинации MUSIC+UrQMD планируется применять **vHLL+SMASH** [A.Shafer et al. // Eur.Phys.J.A 58(2022)11,230].
2. Желателен поиск голографической модели для физических масс кварков ("**гибридной модели**"), сохраняющей все преимущества подхода
3. Возможен **учет вторичного магнитного поля**, порождаемого вылетающими заряженными частицами
4. Пакет iEBE может быть модифицирован с помощью **голографических моделей для термализации и фризаута**
5. С применением описанных подходов планируется изучение **флуктуаций и корреляций** в качестве инструментов исследования фазовой диаграммы

Спасибо за внимание!

## Заключение и потенциал дальнейшего развития

Backup Slides



# Основные формулы модели "легких кварков" в безразмерном виде

$$I_1 = \int_0^{z_h} (1 + b\xi^2)^{3a} \xi^{1+\frac{2}{\nu}} d\xi \quad \text{и} \quad I_2 = \int_0^{z_h} e^{c\xi^2} (1 + b\xi^2)^{3a} \xi^{1+\frac{2}{\nu}} d\xi$$

$$T = \frac{1}{4\pi} \left| - \frac{(1+bz_h^2)^{3a} z_h^{1+\frac{2}{\nu}}}{I_1} \left[ 1 - \frac{2\mu^2 c e^{cz_h^2}}{(1-e^{cz_h^2})^2} (1 - e^{-cz_h^2} \frac{I_2}{I_1}) I_1 \right] \right|$$

$$s = \left( \frac{1}{z_h} \right)^{1+\frac{2}{\nu}} \frac{(1+bz_h^2)^{-3a}}{4}$$

$$\rho = - \frac{c\mu}{1 - e^{cz_h^2}}$$

$$p = - \int_0^{z_0} s \frac{dT}{dz_h} dz_h - \int_0^{\mu_0} s \frac{dT}{d\mu} d\mu + \int_0^{\mu_0} \rho d\mu$$

$$\varepsilon = -p + Ts + \rho\mu$$

Фит константы  $c$  по реджевским спектрам

Из метрики строится уравнение для пробного векторного поля  $V$ :

$$\frac{1}{g}\Delta V_I + v_I'' + \left(\frac{g'}{g} + \frac{f'}{f} + A' - \frac{1}{z}\right)V_i' = 0$$

После фурье-преобразования ( $v_i$  - фурье-образ  $V_i$ ):

$$-v_i'' - \left(\frac{g''}{g} + \frac{f'}{f} + A' - \frac{1}{z}\right)v_i' = \left(\frac{\omega^2}{g^2} - \frac{p^2}{g}\right)v_i$$

Это уравнение преобразуется к уравнению шредингеровского типа:

$$-\psi_i'' + U(z)\psi_i = m_i\psi_i$$

с потенциалом  $U(z) = -\frac{3}{4z^2} - c^2z^2$  и собственными значениями  $m_n^2 = 4cn$  ( $m_n^2 = 4c(n+1)$  для фита)

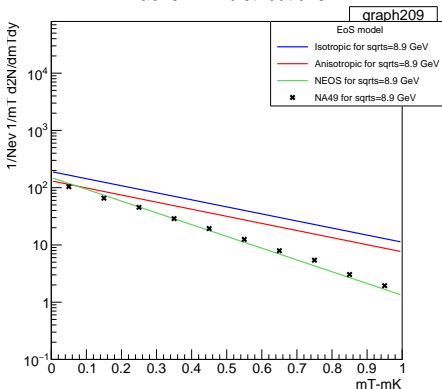
# Сравнение спектров по поперечной массе с результатами NA49

Pb-Pb столкновения,  $|y| < 2.6$   
 $\sqrt{s}=8.9$  ГэВ,  $b < 2.5$  фм

$K^+$

$\pi^-$

Kaons+ mT-distributions



Pions- mT-distributions

